



中国科学技术大学
University of Science and Technology of China

信息科学技术学院
School of Information Science and Technology

210049.03 – 信号与系统 – 第八周

傅里叶变换和级数的性质（续）

赵 峰，电四楼421
fzhao956@ustc.edu.cn
2022/4/18

6.4 时移和频移性质

各种傅里叶变换和傅里叶级数的“**时移性质**”和“**频移性质**”可以分别看作它们的**时域卷积性质**和**频域卷积性质**的一个**特例**。

6.4.1 时移性质

■ CFT 和 DTFT 的时移性质

假设有 **F** $\{f(t)\} = F(\omega) = |F(\omega)|e^{j\phi(\omega)}$
和 **F** $\{f[n]\} = \tilde{F}(\Omega) = |\tilde{F}(\Omega)|e^{j\tilde{\phi}(\Omega)}$
则分别有 $f(t-t_0) \xleftrightarrow{\text{CFT}} F(\omega)e^{-j\omega t_0} = |F(\omega)|e^{j[\phi(\omega)-\omega t_0]}$
和 $f[n-n_0] \xleftrightarrow{\text{DTFT}} \tilde{F}(\Omega)e^{-j\Omega n_0} = |\tilde{F}(\Omega)|e^{j[\tilde{\phi}(\Omega)-\Omega n_0]}$

时移性质表明：时间函数和序列在**时域上平移**，它们**傅里叶变换的模函数**（即信号的幅度频谱或 LTI 系统的幅频响应）**不变**，只造成其**幅角函数**（即信号的相位频谱或 LTI 系统的相频特性）分别**附加一个线性相位** $-\omega t_0$ 和 $-\Omega n_0$ 。时移性质形成了信号**无失真传输**和**处理**及信号**均衡**等概念和方法，将在下一章详细讨论。

6.4.1 时移性质(续)

■ CFS 和 DFS 的时移性质

周期为 T 的周期信号 $\tilde{x}(t)$ 和周期为 N 的周期序列 $\tilde{x}[n]$ ，如果它们的 CFS 和 DFS 系数分别为 F_k 和 \tilde{F}_k ，则分别有：

$$\tilde{x}(t - t_0) \xleftrightarrow{\text{CFS}} F_k e^{-jk \frac{2\pi}{T} t_0}$$

和

$$\tilde{x}[n - n_0] \xleftrightarrow{\text{DFS}} \tilde{F}_k e^{-jk \frac{2\pi}{N} n_0}$$

还可以用周期信号和周期序列的傅里叶变换来表示，即

$$\tilde{x}(t - t_0) \xleftrightarrow{\text{CFT}} 2\pi \sum_{k=-\infty}^{\infty} F_k e^{-jk \frac{2\pi}{T} t_0} \delta\left(\omega - k \frac{2\pi}{T}\right)$$

和

$$\tilde{x}[n - n_0] \xleftrightarrow{\text{DTFT}} 2\pi \sum_{k=-\infty}^{\infty} \tilde{F}_k e^{-jk \frac{2\pi}{N} n_0} \delta\left(\Omega - k \frac{2\pi}{N}\right)$$

此性质表明，连续时间周期信号或周期序列**时移** t_0 或 n_0 ，将**不**改变各个谐波分量的幅度，只导致谐波分量的相位附加一个**线性相移** $-k(2\pi/T)t_0$ 或 $-k(2\pi/N)n_0$ 。

6.4.1 时移性质(续)

■ 离散傅里叶变换(DFT)的时域循环移位性质

N 点序列 $x[n]$ 循环移位 n_0 表示为 $x([n-n_0])_N = \tilde{x}[n-n_0]r_N[n]$, 其中, $n_0 > 0$ 表示右移位, $n_0 < 0$ 表示左移位。它是 $x[n]$ 以周期 N 周期延拓成的周期序列 $\tilde{x}[n]$ 时移 n_0 后, 取其主值区间内的 N 点序列。例如, 循环右移位就是 $x[n]$ 中右边的序列值依次右移出 N 点区间的同时, 这些序列值又从左边依次移入。

DFT 的时域循环移位性质如下:

假设 N 点序列的 N 点 DFT 系数是 $X[k]$, 则有

$$x([n-n_0])_N = \tilde{x}[n-n_0]r_N[n] \xleftrightarrow{\text{DFT}} X[k]e^{-jk\frac{2\pi}{N}n_0}$$

其中, $r_N[n]$ 是 N 点单位值矩形序列。

这个性质表明: N 点序列的循环移位也不改变其每个 DFT 系数的模值, 只导致其幅角附加一个线性相位 $-k(2\pi/N)n_0$ 。

利用傅里叶变换和级数的时移性质, 有助于求得新的傅里叶变换和傅里叶级数。请看下面的例子。

6.4.1 时移性质(续)

【例 6.6】 试求连续时间和离散时间**延时系统**的频率响应。

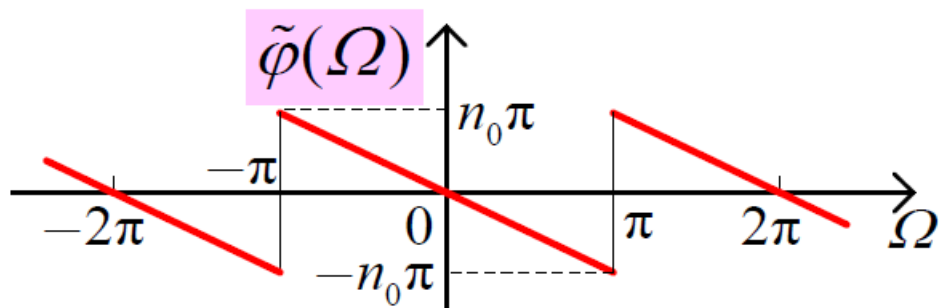
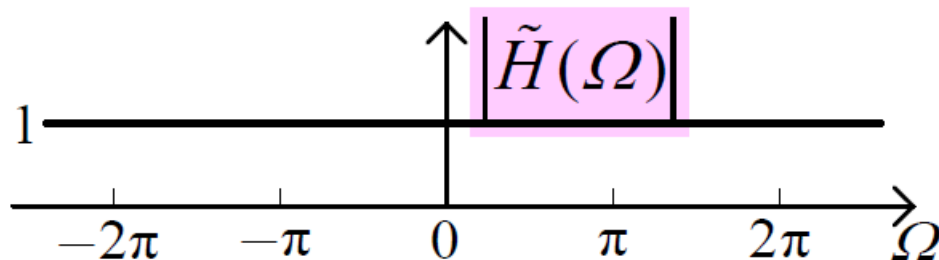
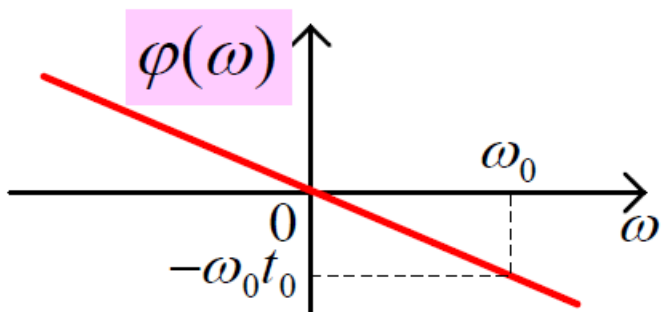
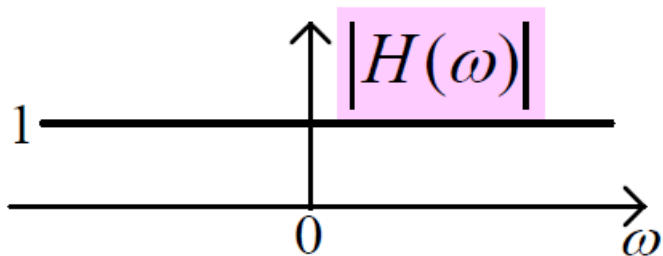
解： 延时 t_0 或 n_0 的延时系统的单位冲激响应分别为

$$h(t) = \delta(t - t_0) \quad \text{或} \quad h[n] = \delta[n - n_0]$$

基于 $\delta(t)$ 或 $\delta[n]$ 的傅里叶变换, 并利用时移性质, 可以求得它们的频率响应分别为

$$H(\omega) = e^{-j\omega t_0} \quad \text{或} \quad \tilde{H}(\Omega) = e^{-j\Omega n_0}$$

它们的**幅频响应**和**相频响应**分别如下图所示。



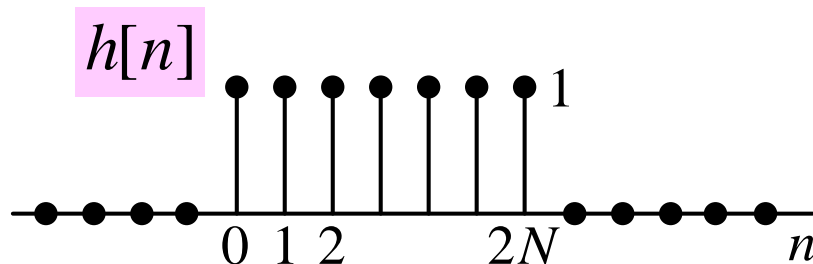
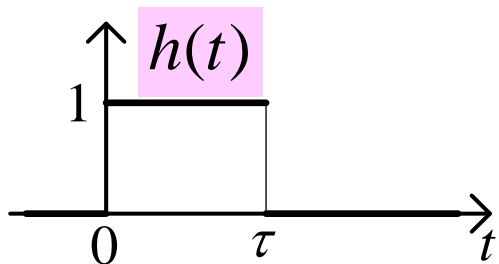
6.4.1 时移性质(续)

同样地， N 点单位冲激序列 $\delta_N[n] = \tilde{\delta}_N[n]r_N[n]$ 的 N 点 DFT 系数为 $X[k] = 1, k = 0, 1, \dots, N-1$ 。用 DFT 的循环移位性质，可以求得 $\delta_N[n]$ 循环右移 n_0 的 N 点序列 $\delta_N[n - n_0]$ 的 N 点 DFT 系数为

$$\delta_N[n - n_0] = \tilde{\delta}_N[n - n_0]r_N[n] \xleftrightarrow{\text{DFT}} e^{-jk\frac{2\pi}{N}n_0}$$

其中， $\tilde{\delta}_N[n]$ 是周期为 N 的周期单位冲激序列。

再例如，由例 5.6 所求的偶对称矩形脉冲和序列的傅里叶变换，可以求得单位冲激响应为下图所示 $h(t)$ 和 $h[n]$ 的连续时间和离散时间因果平滑系统的频率响应 $H(\omega)$ 和 $\tilde{H}(\Omega)$ 。



即 $H(\omega) = \tau \text{Sa}\left(\frac{\omega\tau}{2}\right) e^{-j\frac{\omega\tau}{2}}$ 和 $\tilde{H}(\Omega) = \frac{\sin[\Omega(2N+1)/2]}{\sin(\Omega/2)} e^{-j\Omega N}$

6.4.1 时移性质(续)

讨论： 上述的时移性质可以分别看成傅里叶变换和傅里叶级数、**DFT** 的时域卷积性质的特例。

★ 在 **CFT** 和 **DTFT** 时域卷积性质中，若 $h(t)$ 和 $h[n]$ 分别为 $\delta(t-t_0)$ 和 $\delta[n-n_0]$ ，利用例 6.6 求得的 $\delta(t-t_0)$ 和 $\delta[n-n_0]$ 的傅里叶变换，就可以得到 **CFT** 和 **DTFT** 的时移性质，即

$$f(t-t_0) = f(t) * \delta(t-t_0) \xleftrightarrow{\text{CFT}} F(\omega)e^{-j\omega t_0}$$

和
$$f[n-n_0] = f[n] * \delta[n-n_0] \xleftrightarrow{\text{DTFT}} \tilde{F}(\Omega)e^{-j\Omega n_0}$$

进一步，基于周期信号和序列的傅里叶变换表示，也可由时域卷积性质导出 **CFS** 和 **DFS** 的时移性质，例如：

$$\begin{aligned}\tilde{x}(t-t_0) = \tilde{x}(t) * \delta(t-t_0) &\xleftrightarrow{\text{CFT}} \left[2\pi \sum_{k=-\infty}^{\infty} F_k \delta\left(\omega - k \frac{2\pi}{T}\right) \right] e^{-j\omega t_0} \\ &= 2\pi \sum_{k=-\infty}^{\infty} F_k e^{-jk \frac{2\pi}{T} t_0} \delta\left(\omega - k \frac{2\pi}{T}\right)\end{aligned}$$

用同样方法可以导出 **DFS** 的时移性质。

6.4.1 时移性质(续)

★ 基于 **DFT** 的时域循环卷积性质，由 N 点序列 $x[n]$ 与循环移位 n_0 的 N 点单位冲激序列 $\delta_N[n-n_0]$ 进行 N 点循环卷积，利用上面求得的 $\delta_N[n-n_0]$ 之 N 点 **DFT**，可以得到 **DFT** 的时域循环移位性质，即

$$x([n-n_0])_N = x[n] \circledN \delta_N[n-n_0] \xleftrightarrow{\text{DFT}} X[k]e^{-jk\frac{2\pi}{N}n_0}$$

6.4.1 频移性质

■ CFT 和 DTFT 的频移性质

假设有 **F** $\{f(t)\} = F(\omega)$ 或 **F** $\{f[n]\} = \tilde{F}(\Omega)$

则分别有
$$e^{j\omega_0 t} f(t) \xleftrightarrow{\text{CFT}} F(\omega - \omega_0)$$

或
$$e^{j\Omega_0 n} f[n] \xleftrightarrow{\text{DTFT}} \tilde{F}(\Omega - \Omega_0)$$

这表明：时间函数或序列分别被复指数 $e^{j\omega_0 t}$ 或 $e^{j\Omega_0 n}$ 加权，则对应于它们的傅里叶变换在频域上平移 ω_0 或 Ω_0 。

6.4.2 频移性质(续)

CFT 和 **DTFT** 的频移性质可分别看成频域卷积性质的特例。因为有如下连续时间和离散时间复指数的傅里叶变换对：

$$e^{j\omega_0 t} \xleftrightarrow{\text{CFT}} 2\pi\delta(\omega - \omega_0)$$

和

$$e^{j\Omega_0 n} \xleftrightarrow{\text{DTFT}} 2\pi \sum_{l=-\infty}^{\infty} \delta(\Omega - \Omega_0 - 2l\pi)$$

分别利用**DTFT** 的频域周期卷积性质和 **CFT** 的频域卷积性质，就可以得到 **DTFT** 和 **CFT** 的频移性质，即

$$e^{j\Omega_0 n} f[n] \xleftrightarrow{\text{DTFT}} \frac{1}{2\pi} \tilde{F}(\Omega) \odot 2\pi \sum_{l=-\infty}^{\infty} \delta(\Omega - \Omega_0 - 2l\pi) = \tilde{F}(\Omega - \Omega_0)$$

和

$$e^{j\omega_0 t} f(t) \xleftrightarrow{\text{CFT}} \frac{1}{2\pi} F(\omega) * 2\pi\delta(\omega - \omega_0) = F(\omega - \omega_0)$$

● **DTFT 的频移 π 性质**

在 **DTFT** 的频移性质中，若令 $\Omega_0 = \pi$ ，将得到它一个特有的性质，即

$$(-1)^n f[n] \xleftrightarrow{\text{DTFT}} \tilde{F}(\Omega - \pi)$$

6.4.2 频移性质(续)

讨论: 离散时间频域中**频移** π 表示**低频与高频之间相互转换**, 由此可实现离散时间低通与高通滤波器之间的相互转换。

■ CFS 和 DFS 的频移性质

周期为 T 的周期信号 $\tilde{x}(t)$ 和周期为 N 的周期序列 $\tilde{x}[n]$, 如果它们的 **CFS** 和 **DFS** 系数分别为 F_k 和 \tilde{F}_k , 则分别有:

$$e^{jk_0(2\pi/T)t} \tilde{x}(t) \xleftrightarrow{\text{CFS}} F_{k-k_0} \quad \text{和} \quad e^{jk_0(2\pi/N)n} \tilde{x}[n] \xleftrightarrow{\text{DFS}} \tilde{F}_{k-k_0}$$

这表明: 若周期信号或周期序列被复指数 $e^{jk_0(2\pi/T)t}$ 或 $e^{jk_0(2\pi/N)n}$ 加权, 相应它们的离散频谱在频域上频移 $k_0(2\pi/T)$ 和 $k_0(2\pi/N)$ 。

基于周期信号和序列及复指数 $e^{jk_0(2\pi/T)t}$ 和 $e^{jk_0(2\pi/N)n}$ 的傅里叶变换表示, 利用**CFT**的频域卷积性质和**DTFT**的频域周期卷积性质, 也可以导出上述**CFS**和**DFS**的频移性质。例如

$$\begin{aligned} e^{jk_0 \frac{2\pi}{T} t} \tilde{x}(t) &\xleftrightarrow{\text{CFT}} \frac{1}{2\pi} \left[2\pi \sum_{k=-\infty}^{\infty} F_k \delta\left(\omega - k \frac{2\pi}{T}\right) \right] * 2\pi \delta\left(\omega - k_0 \frac{2\pi}{T}\right) \\ &= 2\pi \sum_{k=-\infty}^{\infty} F_{k-k_0} \delta\left(\omega - k \frac{2\pi}{T}\right) \end{aligned}$$

6.4.2 频移性质(续)

■ 离散傅里叶变换(DFT)的频域循环移位性质

N 点序列的 N 点 DFT 是频域上的 N 点系数序列，故 DFT 的频域循环移位性质如下：

假设 N 点序列 $x[n]$ 的 N 点 DFT 系数是 $X[k]$ ，则有

$$x[n]e^{jk_0 \frac{2\pi}{N}n} \xleftrightarrow{\text{DFT}} X([k - k_0])_N = \tilde{X}[k - k_0] \cdot r_N[k]$$

其中： $\tilde{X}[k]$ 是 $X[k]$ 以周期 N 的周期延拓， $r_N[n]$ 是 N 点单位值矩形序列； $k_0 > 0$ 表示循环右移位， $k_0 < 0$ 表示循环左移位。

这个性质表明： N 点序列的循环移位也不改变其每个 DFT 系数的模值，只导致其幅角附加一个线性相位。

▲ N 点序列及其 N 点 DFT 系数之循环移位的周期特性

N 点序列 $x[n]$ 及其 N 点 DFT 系数 $X[k]$ 循环移位 N 的整数倍时，仍分别是 $x[n]$ 和 $X[k]$ ，表明它们具有循环移位周期特性。即

$$x([n - mN])_N \xleftrightarrow{\text{DFT}} X[k] \quad \text{和} \quad x[n] \xleftrightarrow{\text{DFT}} X([k - mN])_N$$

6.4.2 频移性质(续)

讨论：与信号和序列的**时移不产生波形失真**一样，傅里叶变换的**频移也不造成其函数形状的改变**，仅是频谱或频率特性在频率轴上的搬移。所谓“**频谱搬移技术**”就是由此而来。

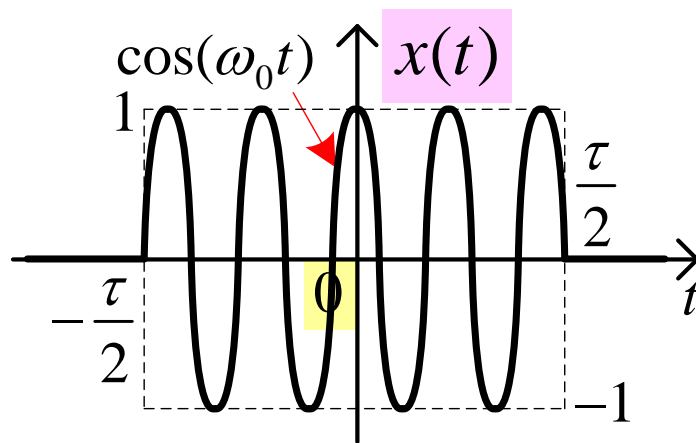
利用频移性质可方便求取一些新的傅里叶变换对和级数对。

【例 6.7】 试求右图所示的矩形射频脉冲 $x(t)$ 的频谱。

解 $x(t)$ 可以看作 $\cos(\omega_0 t)$ 被宽度为 τ 的偶对称单位幅度的矩形脉冲 $r_\tau(t)$ 幅度调制的结果，即有

$$x(t) = r_\tau(t) \cos \omega_0 t = 0.5e^{j\omega_0 t} r_\tau(t) + 0.5e^{-j\omega_0 t} r_\tau(t)$$

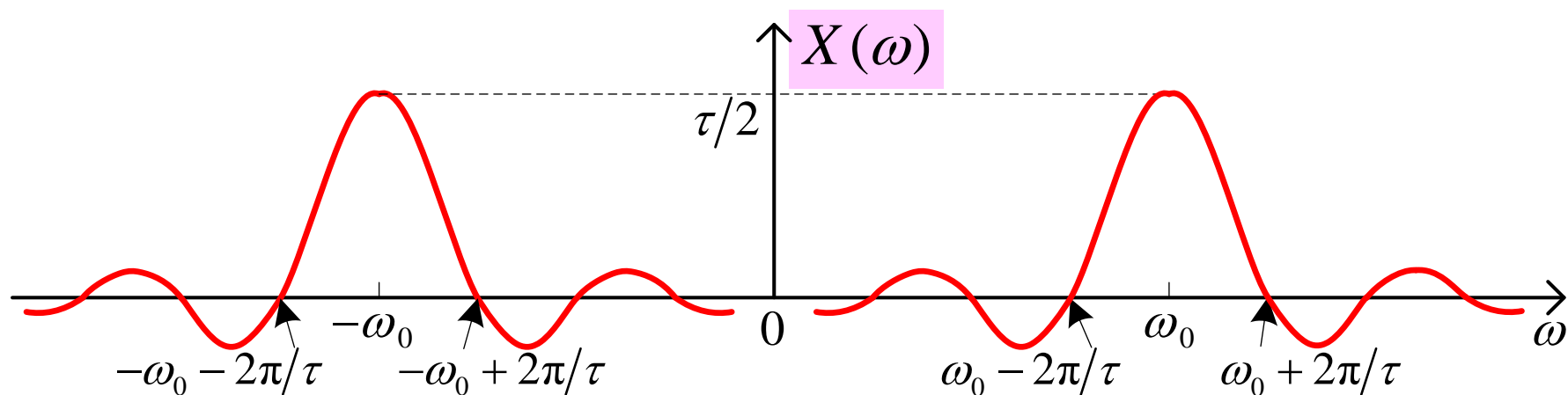
基于例 5.6 求得的 $r_\tau(t)$ 之傅里叶变换，利用 CFT 的频移性质，可以求得矩形射频脉冲的频谱为



6.4.2 频移性质(续)

$$X(\omega) = \frac{\tau}{2} \left[\text{Sa} \left(\frac{(\omega - \omega_0)\tau}{2} \right) + \text{Sa} \left(\frac{(\omega + \omega_0)\tau}{2} \right) \right]$$

由例 5.6 中 $R_\tau(\omega)$ 的函数图形，可画出 $X(\omega)$ 的图形如下图所示。



这表明：矩形射频脉冲的频谱由矩形脉冲 $r_\tau(t)$ 的频谱之半分别频率搬移到 $\pm\omega_0$ 处的两部分组成。这充分体现了幅度调制起到频谱搬移的作用。

作业

- 6.1 23)
- 6.4 1) 4) 7) 12)
- 6.6 1); 2) (b) (e)